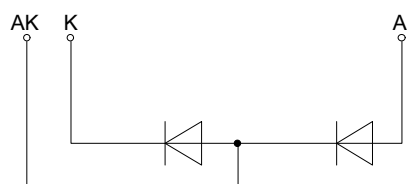
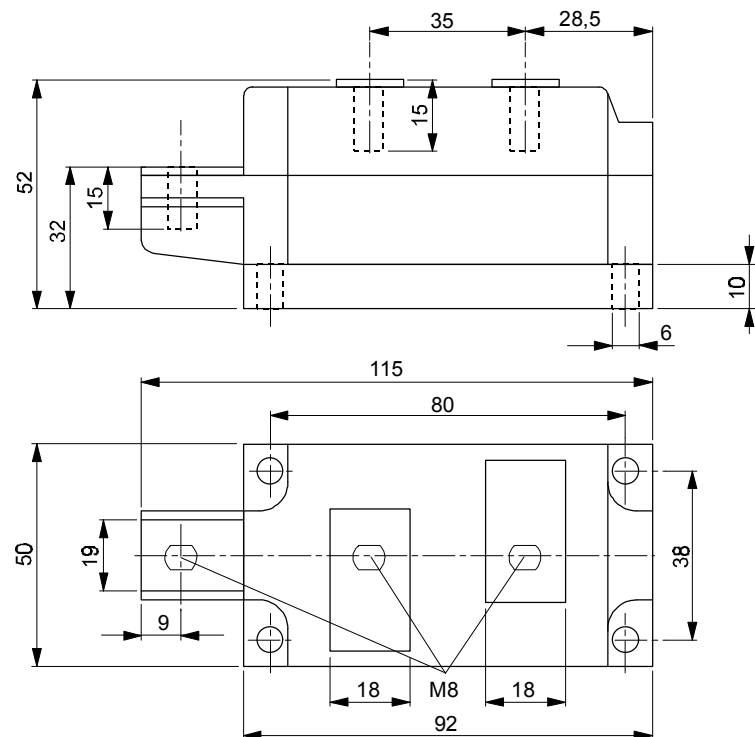


European Power-
Semiconductor and
Electronics Company
GmbH + Co. KG

Marketing Information DD 241 S



Elektrische Eigenschaften	Electrical properties					
Höchstzulässige Werte	Maximum rated values					
Periodische Spitzensperrspannung	repetitive peak reverse voltage	$t_{vj} = -40^{\circ}\text{C} \dots t_{vj\ max}$	V_{RRM} DD 241 S:	1000 1200 1400	V	
Stoßspitzenspannung	non-repetitive peak reverse voltage	$t_{vj} = +25^{\circ}\text{C} \dots t_{vj\ max}$	$V_{RSM} = V_{RRM}$	+ 50	V	
Durchlaßstrom-Grenzeffektivwert	RMS forward current		I_{FRMSM}	410	A	
Dauergrenzstrom	average forward current	$t_c = 100^{\circ}\text{C}$ $t_c = 94^{\circ}\text{C}$	I_{FAVM}	240	A	
Stoßstrom-Grenzwert	surge current	$t_{vj} \leq 25^{\circ}\text{C}, t_p = 10\text{ ms}$ $t_{vj} = t_{vj\ max}, t_p = 10\text{ ms}$	I_{FSM}	9300	A	
Grenzlastintegral	$\int i^2 t$ -value	$t_{vj} \leq 25^{\circ}\text{C}, t_p = 10\text{ ms}$ $t_{vj} = t_{vj\ max}, t_p = 10\text{ ms}$	$\int i^2 t$	432000	A^2s	
				281000	A^2s	
Charakteristische Werte	Characteristic values					
Durchlaßspannung	forward voltage	$t_{vj} = t_{vj\ max}, i_F = 800\text{ A}$	V_F	max. 1,55	V	
Schleusenspannung	threshold voltage		$V_{(TO)}$	1,1	V	
Ersatzwiderstand	slope resistance		r_T	0,5	$\text{m}\Omega$	
Sperrstrom	reverse current	$t_{vj} = t_{vj\ max}, V_R = V_{RRM}$	i_R	max. 200	mA	
Rückstromspitze	peak reverse recovery current	$t_{vj} = t_{vj\ max}, i_{FM} = 250\text{ A},$ $-di_F/dt = 100\text{ A}/\mu\text{s}$	I_{RM}			
Sperrverzugsladung	recovered charge	$t_{vj} = t_{vj\ max}, i_{FM} = 250\text{ A}$ $-di_F/dt = 100\text{ A}/\mu\text{s}$	Q_r	max. 135	A	
Isolations-Prüfspannung	insulation test voltage	RMS, $f = 50\text{ Hz}, t = 1\text{ min.}$	V_{ISOL}	max. 250	μAs	
				3	kV	
Thermische Eigenschaften	Thermal properties					
Innerer Wärmewiderstand	thermal resistance, junction to case	$\Theta = 180^{\circ}\text{el. sin: pro Modul/per module}$ pro Zweig/per arm DC: pro Modul/per module pro Zweig/per arm	R_{thJC}	max. 0,075	$^{\circ}\text{C}/\text{W}$	
				max. 0,15	$^{\circ}\text{C}/\text{W}$	
				max. 0,072	$^{\circ}\text{C}/\text{W}$	
				max. 0,144	$^{\circ}\text{C}/\text{W}$	
Übergangs-Wärmewiderstand	thermal resistance, case to heatsink	pro Modul/per module pro Zweig/per arm	R_{thCK}	max. 0,02	$^{\circ}\text{C}/\text{W}$	
				max. 0,04	$^{\circ}\text{C}/\text{W}$	
Höchstzul. Sperrsichttemperatur	max. junction temperature		$t_{vj\ max}$	150	$^{\circ}\text{C}$	
Betriebstemperatur	operating temperature		t_{co}	-40...+150	$^{\circ}\text{C}$	
Lagertemperatur	storage temperature		t_{stg}	-40...+150	$^{\circ}\text{C}$	
Mechanische Eigenschaften	Mechanical properties					
Si-Elemente mit Druckkontakt	Si-pellets with pressure contact					AIN
Innere Isolation	internal insulation					
Anzugsdrehmomente	tightening torques					
mechanische Befestigung	mounting torque	Toleranz/tolerance +/- 15%	M1	6	Nm	
elektrische Anschlüsse	terminal connection torque	Toleranz/tolerance +5%/-10%	M2	12	Nm	
Gewicht	weight		G	typ. 800	g	
Kriechstrecke	creepage distance			17	mm	
Schwingfestigkeit	vibration resistance	$f = 50\text{ Hz}$		5 · 9,81	m/s^2	
Maßbild	outline					8

DD 241 S kann auch mit gemeinsamer Anode oder gemeinsamer Kathode geliefert werden.

DD 241 S can also be supplied with common anode or common cathode.

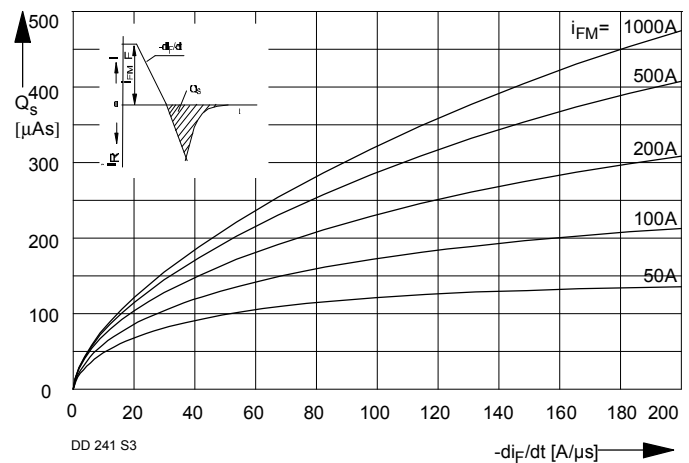


Bild / Fig. 2

Typische Abhängigkeit der oberen Sperrverzögerungsladung Q_s von der abkommunizierenden Stromsteilheit $-di_F/dt$ bei $t_{vj \max}$.
Typical realationship between the maximum recovered charge Q_s and the rate of decay of forward current $-di_F/dt$ at $t_{vj \max}$

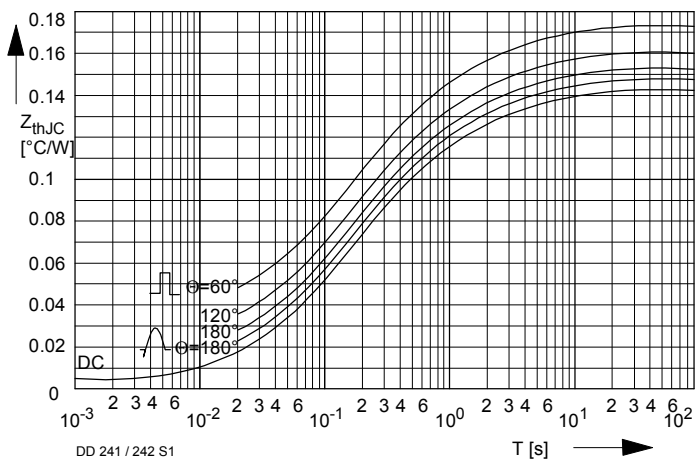


Bild / Fig. 3

Transienter innerer Wärmewiderstand $Z_{(th)JC}$ je Zweig bei sinus- und trapezförmigem Stromverlauf.
Transient thermal impedance $Z_{(th)JC}$, junction to case per arm at sinusoidal and trapezoidal current waveform.

Analytische Elemente des transinten Wärmewiderstandes Z_{thJC} pro Zweig für DC
Analytical elements of transient thermal impedance Z_{thJC} per arm for DC

Pos. n	1	2	3	4	5	6	7
$R_{thn} [^{\circ}C/W]$	0,0031	0,0097	0,0257	0,0529	0,0526		
$\tau_n [s]$	0,0009	0,008	0,11	0,61	3,06		

Analytische Funktion / Analytical function:

$$Z_{thJC} = \sum_{n=1}^{n_{\max}} R_{thn} (1 - e^{-\frac{t}{\tau_n}})$$